

К ЛИНЕЙНОЙ ТЕОРИИ ВЗАИМОДЕЙСТВИЯ ТРУБЧАТОГО СИЛЬНОТОЧНОГО РЕЛЯТИВИСТСКОГО ЭЛЕКТРОННОГО ПУЧКА С ЗАМАГНИЧЕННОЙ ПЛАЗМОЙ В КРУГЛОМ ВОЛНОВОДЕ

Н. И. Карбушев, А. С. Шлапаковский

Взаимодействие сильноточных электронных пучков с замагниченной плазмой в линейном приближении характеризуется рядом особенностей. Сильноточный пучок искажает поляризацию поля возбуждаемых в плазме колебаний [1], а при точном синхронизме плазменной волны с пучком инкремент нарастания неустойчивости оказывается пропорциональным ленгмюровской частоте пучка в первой степени [2, 3]. Частота возмущений, соответствующая максимальному пространственному инкременту неустойчивости, пропорциональному квадрату ленгмюровской частоты сильноточного пучка, смещена относительно синхронной частоты в область больших значений [4], где скорость пучка превышает фазовую скорость плазменной волны. При этом взаимодействие пучка с плазмой приобретает аномальный доплеровский характер [5] и для развития неустойчивости нет необходимости выполнения условий синхронизма плазменной волны с электронным пучком. На взаимодействие сильноточного пучка с плазмой существенное влияние оказывает высокочастотный пространственный заряд пучка [6].

В работах [1-6] исследования плазменно-пучковой неустойчивости проводились в предположении однородных в поперечном сечении пучка и плазмы. В таком случае возбуждаемый одной из волн (мод) плазменного волновода переменный ток пучка ортогонален всем остальным волнам, отличающимся поперечными волновыми числами. Вследствие этого взаимодействие электронного пучка с каждой из волн в линейном приближении происходит независимым образом. При несовпадающих поперечных профилях плотностей электронов пучка и плазмы во взаимодействии одновременно будут участвовать бесконечно много волновых мод, неортогональных наведенному в пучке переменному току, что приведет к изменению характера развития неустойчивости.

В настоящей работе проводится исследование дисперсионного соотношения [6, 7]

$$J_l(k_{\perp}R) = \frac{\pi}{4} \frac{x^2 \Omega_p^2 R^2}{(\omega - ku)^2} J_l(k_{\perp}r_b) [J_l(k_{\perp}r_b) N_l(k_{\perp}R) - J_l(k_{\perp}R) N_l(k_{\perp}r_b)], \quad (1)$$

справедливого для возмущений малой амплитуды с азимутальным волновым числом l , частотой ω и волновым вектором k в волноводе радиуса R , полностью заполненном холодной замагниченной плазмой с однородной плотностью электронов n_p , в котором распространяется тонкостенный трубчатый электронный пучок радиуса r_b с полным током I и скоростью u . В уравнении (1) J_l и N_l — функции Бесселя и Неймана l -го порядка, $k_{\perp} = \sqrt{-x^2 \epsilon_p}$, $x^2 = k^2 - \omega^2/c^2$, $\epsilon_p = 1 - \omega_p^2/\omega^2$ — диэлектрическая проницаемость плазмы с ленгмюровской частотой $\omega_p = (4\pi e^2 n_p/m)^{1/2}$, $\Omega_p^2 = 4eI/m\gamma^3 u R^2$, $\gamma = (1 - u^2/c^2)^{-1/2}$ — релятивистский фактор электронов пучка, e и m — заряд и масса электрона, c — скорость света. В отсутствие пучка ($\Omega_p^2 = 0$) соотношение (1) описывает дисперсию волн плазменного волновода $k_{\perp s} R = \mu_{ls}$, отличающихся друг от друга радиальными волновыми числами $s = 1, 2, 3, \dots$ и характеризующихся различными корнями функции Бесселя $J_l(\mu_{ls}) = 0$. Отдельные волны имеют распределение амплитуды продольной составляющей электрического поля по радиусу вида $E_{rs} \sim \sim J_l(\mu_{ls} r/R)$. Все эти волны могут оказывать влияние на взаимодействие пучка с плазмой, поскольку одновременно возбуждаются пучком.

Как было показано в работах [6, 7], в случае слаботочного пучка дисперсионное соотношение (1) может быть приближенно сведено к стандартному, хорошо изученному характеристическому уравнению ЛБВ третьей степени относительно волнового вектора. При этом определяющей является синхронная волна плазменного волновода, для которой $k_s \approx k$, а все остальные волны в совокупности лишь определяют частоту собственных колебаний пучка через коэффициент депрессии. В случае сильноточного пучка понятие синхронной волны теряет смысл, приближенные методы исследования дисперсионного уравнения (1) отсутствуют и наиболее приемлемым является численное его решение.

Дисперсионное соотношение (1) исследовалось для случая азимутально симметричных возмущений с $l=0$ и ультрарелятивистского электронного пучка с $\gamma^2 \gg 1$. В безразмерных обозначениях

$$\delta = 2\gamma^2 (k_1 u / \omega - 1) \ll 2\gamma^2, \quad a = \omega / \omega_p \approx [1 - p / (1 + \delta)]^{1/2},$$

$$y = 2\gamma^2 \frac{u}{\omega_p} (k - k_1) \ll 2\gamma^2, \quad k_i = \left(\frac{\omega^2}{c^2} - \frac{\mu_{01}^2}{\varepsilon_p R^2} \right)^{1/2},$$

$$p = (\mu_{01} \gamma u / \omega_p R)^2, \quad \nu = (2\gamma \Omega_b R / \mu_{01} u)^2, \quad b = r_b / R \quad (2)$$

оно записывается следующим образом:

$$J_0(\rho) = \frac{\pi}{4} \mu_{01}^2 \nu \frac{1 + \delta + y/a}{(\delta + y/a)^2} J_0(\rho b) [J_0(\rho b) N_0(\rho) - J_0(\rho) N_0(\rho b)], \quad (3)$$

где $\rho = k_1 R \approx \mu_{01} [1 + y/a (1 + \beta)]^{1/2}$, $\mu_{01} \approx 2.4$. При величине параметра $\nu \gg 1$ пучок является сильноточным и слаботочным в противоположном пределе.

На рис. 1—3 представлены зависимости безразмерного пространственного инкремента $\text{Im } y$ от расстройки δ , полученные из решения уравнения (3). Эти зависимости могут качественно отличаться для различных величин параметров ν , p и b (их значения приведены в таблице). При этом проявляются следующие основные закономерности. С увеличением параметра сильноточности ν происходят монотонный рост максимального инкремента $(\text{Im } y)_{\max}$ и расширение области расстройек δ , в которой существует инкремент ($\text{Im } y \neq 0$). Левая граница области неустойчивости $\delta_{\min} = p - 1$ определяется только параметром p . Расположение правой границы δ_{\max} от параметра p не зависит, с ростом ν она смещается в область больших значений, причем $\delta_{\max} \sim \nu$, если $\nu \gg 1$. Наибольшее значение инкремента $(\text{Im } y)_{\max} \sim \nu$ достигается для $\nu \gg 1$ на расстройке $\delta_{\text{opt}} \approx (\delta_{\max} + \delta_{\min})/2$. Когда параметр $p > 1$, неустойчивость носит пороговый характер по току пучка, проявляясь при $\nu > \nu_{\text{пор}} \sim p \gg 1$.

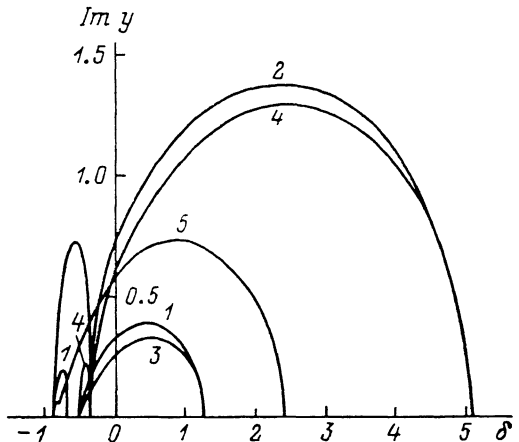


Рис. 1.

В окрестности левой границы области неустойчивости в ряде случаев наблюдается немонотонность в зависимостях $\text{Im } y$ от δ . При этом возможно существование локальных максимумов инкремента, а также сравнительно узких областей расстройки, в которых неустойчивость отсутствует. Локальные максимумы оказываются всегда меньше основного. При параметре $p < \mu_{01}^2 / \mu_{02}^2 \approx 0.19$ немонотонности проявляются для значений $\nu \leq 1$. Если же $p > \mu_{01}^2 / \mu_{02}^2$, то немонотонности возникают лишь при значениях ν , большей некоторой величины, возрастающей пропорционально p , когда $p \gg \mu_{01}^2 / \mu_{02}^2$.

Зависимости $\text{Im } y$ от δ в значительной степени определяются также параметром b , т. е. радиусом пучка. С уменьшением b наблюдается рост максимального инкремента $(\text{Im } y)_{\max}$ и расширение области неустойчивости. Для больших значений параметра сильноточности ν при этом прослеживается закономерность типа $(\text{Im } y)_{\max} \sim \delta_{\max} \sim J_0^2(\mu_{01} b)$. Немонотонности

№ рисунка и кривой	p	b	ν	№ рисунка и кривой	p	b	ν
1, 1	0.135	0.7	0.1	2, 7	0.135	0.4	10
1, 2	0.135	0.7	1	2, 8	3	0.7	5
1, 3	0.5	0.7	0.1	2, 9	3	0.7	10
1, 4	0.5	0.7	1	3, 1	0.135	0.7	1
1, 5	0.135	0.4	0.1	3, 2	0.135	0.7	1.5
2, 1	0.135	0.4	1	3, 3	0.135	0.7	2
2, 2	0.135	0.7	1	3, 4	0.5	0.7	1
2, 3	0.135	0.7	10	3, 5	0.135	0.35	0.1
2, 4	0.5	0.7	5	3, 6	0.135	0.4	0.1
2, 5	0.5	0.7	10	3, 7	0.135	0.47	0.1
2, 6	0.135	0.4	5	3, 8	0.135	0.5	0.1

исчезают, когда $b = \mu_{01}/\mu_{02} \approx 0.435$, и являются наиболее выраженными в случае $b = \mu_{11}/\mu_{02} \approx 0.7$.

Полученные зависимости показывают проявление различных мод плазменного волновода во взаимодействии с электронным пучком. Характеризуемая минимальным корнем функции Бесселя μ_{01} первая мода имеет наиболее широкую область неустойчивости и наибольшую амплитуду продольной составляющей электрического поля $\sim J_0(\mu_{01}r/R)$. По этой причине она доминирует над всеми остальными модами и максимальный инкремент и ширина области неустойчивости определяются именно этой модой в соответствии с [4, 6]. При уменьшении радиуса пучка возрастает амплитуда поля первой моды и взаимодействие становится более сильным. Для значений параметра $p > 1$, соответствующих отсутствию черенковского синхронизма пучка с волнами плазменного волновода, неустойчивость, обусловленная аномальным доплеровским механизмом взаимодействия, возникает лишь в случае превышения некоторого порогового тока [4, 5]. Когда параметр $p < \mu_{01}^2/\mu_{02}^2$, то при любом значении параметра ν во взаимодействии с электронным пучком наряду с первой одновременно участвует и вторая волноводная мода. Она обуславливает развитие неустойчивости в области меньших

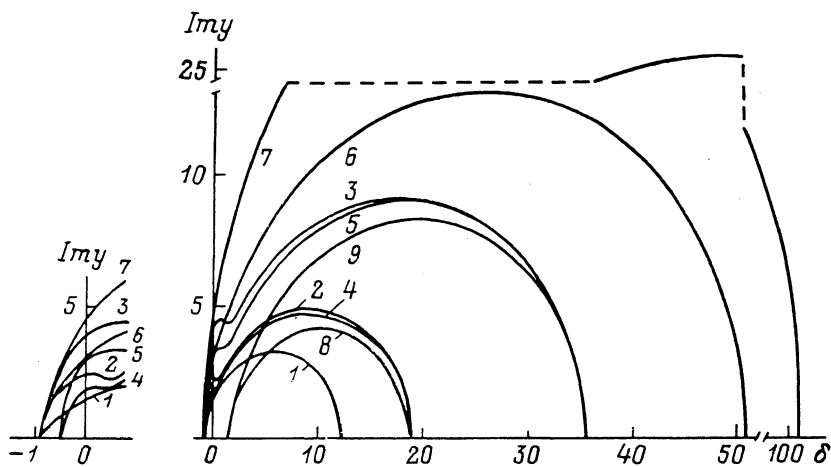


Рис. 2.

расстройек, чем первая мода, и максимальный инкремент, обусловленный взаимодействием пучка с ней, также меньше. Поэтому вторая мода проявляется и может доминировать над первой лишь вблизи левой границы области неустойчивости, где инкремент, обусловленный первой модой, мал. В случае большого параметра $p > \mu_{01}^2/\mu_{02}^2$ вторая мода обуславливает неустойчивость, только начиная с некоторого минимального значения ν . Влияние второй моды на взаимодействие оказывается наиболее выраженным при радиусе пучка, соответствующем положению максимума ее поля.¹ В то же время вторая мода не возбуждается, если радиус пучка соответствует радиусу, на котором амплитуда ее поля обращается в нуль, а в окрестности этой точки ее влияние сильно ослаблено. Конкуренция и взаимодействие различных мод плазменного волновода могут приводить как к увеличению, так и к уменьшению инкремента. В определенных случаях они подавляют друг друга, так что неустойчивость может исчезать совсем в некоторой области расстройек. С ростом параметра сильноточности ν области расстройек с доминированием той или иной моды перекрываются.

Моды с номерами радиальных индексов s могут оказывать заметное влияние на взаимодействие пучка с плазмой в волноводе при любых значениях параметра сильноточности ν в случае $p < \mu_{01}^2/\mu_{0s}^2$, либо при $\nu > \nu_{пор s}$, если $p > \mu_{01}^2/\mu_{0s}^2$. В пределе $p \gg \mu_{01}^2/\mu_{0s}^2$ для $\nu_{пор s}$ можно записать приближенное выражение

$$\nu_{пор s} \approx \left[\frac{\mu_{0s} J_1(\mu_{0s})}{\mu_{01} J_0(\mu_{0s} b)} \right]^2 \left(\frac{p \mu_{0s}^2}{4 \mu_{01}^2} - 1 \right). \quad (4)$$

Полученные в настоящей работе результаты необходимо учитывать в экспериментальных исследованиях плазменных генераторов и усилителей на трубчатых сильноточных релятивистских электронных пучках. Так, в генераторах следует ожидать возбуждения коле-

¹ При таком же радиусе пучка обращается в нуль коэффициент депрессии.

баний в первую очередь на частоте, близкой к соответствующей инкременту, когда коэффициент усиления плазменных волн пучком максимален, а стартовый ток генерации минимален. В случае сильноточных пучков эта частота может существенно превосходить синхронную частоту, соответствующую равенству фазовой скорости плазменной волны и скорости пучка, причем с ростом тока (параметра ν) и уменьшением радиуса трубчатого пучка ее значение возрастает. Данное обстоятельство оказывается важным и для усилителей, поскольку коэффициент усиления плазменных волн определяется их инкрементом. В окрестности синхронной частоты зависимость коэффициента усиления может иметь сложный немонотонный характер. Кроме того, в усилителях с сильноточными пучками существует

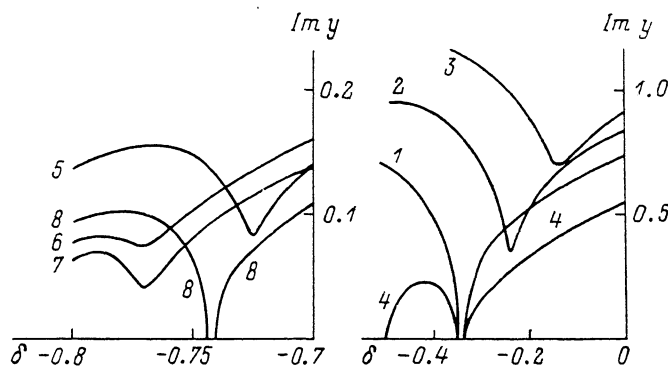


Рис. 3.

интересная возможность получения на выходе волны, в которой доминирует мода с радиальным индексом волнового числа s , отличным от радиального индекса подаваемой на вход волны. В широком диапазоне частот наиболее вероятным является доминирование на выходе моды с радиальным волновым числом μ_{01} при азимутально-симметричной волне на входе с любым радиальным индексом. Последнее обусловлено неортогональностью возбуждаемого любой плазменной волной переменного тока в пучке по всем волнам с одним и тем же азимутальным индексом и наибольшей амплитудой волны с минимальным радиальным индексом $s=1$.

К числу других особенностей экспериментов с сильноточными электронными пучками следует отнести также возможность достижения генерации или усиления колебаний в условиях, когда параметр $p > 1$ и отсутствует синхронизм пучка с плазменными волнами. В связи с этим необходимая плотность плазмы может быть в $\nu \gg 1$ раз меньше, чем в случае слаботочных пучков, когда для возможности генерации или усиления плазменных волн выполнение неравенства $p < 1$ принципиально.

Отметим, что в эксперименте [8] с трубчатым электронным пучком в плазменном волноводе в принципе могли наблюдаться некоторые из сильноточных эффектов.

Список литературы

- [1] Tajima T. // Phys. Fluids. 1979. Vol. 22. N 6. P. 1157—1170.
- [2] Айзацкий Н. И. // Физика плазмы. 1980. Т. 6. № 3. С. 597—602.
- [3] Кузнецов М. В., Рухадзе А. А. // Письма в ЖТФ. 1980. Т. 6. Вып. 22. С. 1388—1391.
- [4] Белов Н. Е., Карбушев Н. И., Рухадзе А. А. // ЖТФ. 1982. Т. 52. Вып. 8. С. 1674—1677.
- [5] Блюм Ю. П., Карась В. И., Любарский М. Г. и др. ДАН СССР. 1984. Т. 275. № 1. С. 56—59.
- [6] Карбушев Н. И. // Физика плазмы. 1985. Т. 11. № 11. С. 1391—1397.
- [7] Карбушев Н. И. // Кр. сообщ. по физике. 1984. № 10. С. 8—12. Тез. докл. V Всесоюз. симп. по сильноточной электронике. Томск: ИСЭ СО АН СССР, 1984. Ч. 1. С. 243—245.
- [8] Стрелков П. С., Шкварунец А. Г. // Тез. докл. IV Всесоюз. семинара по релятивистской высокочастотной электронике «Мощные генераторы и усилители на релятивистских электронных потоках». М.: МГУ. 1984. С. 76.

Научно-исследовательский институт
ядерной физики
при Томском политехническом институте
им. С. М. Кирова

Поступило в Редакцию
15 июля 1988 г.

В окончательной редакции
1 февраля 1989 г.